

تحلیل عددی رفتار توده سنگ درزه دار تکیه گاه های سد بتی قوسی

محمد حسین صدقیانی

استادیار

دانشکده عمران، دانشگاه صنعتی شریف

محمد تقی احمدی

دانشیار

دانشکده فنی و مهندسی، دانشگاه تربیت مدرس

حسینعلی مقصودی شورابی

دانشجوی کارشناسی ارشد

سازه های هیدرولیکی دانشگاه تربیت مدرس

چکیده

سد های قوسی بتی با مقاومت ناشی از رفتار قوسی، بار ناشی از فشار آب را که مقدار قابل توجهی است، در سطح کوچکی به تکیه گاه منتقل می کنند. تکیه گاه های سنگی سد نیز معمولاً از توده های درزه دار شکل شده اند که مقاومت آنها بستگی به فاصله، امتداد، شب و رفتار درزه ها دارد. رفتار درزه توده سنگ نیز به عواملی چون فاصله، زیری، مقاومت سطح درزه، نوع جنس، مقدار پوشش دگی درزه و فشار آب موجود بستگی دارد. با توجه به اینکه تکیه گاه های سد از مهمترین و حساسی ترین قسمت های سد بوده پایداری سد بطور مستقیم به پایداری تکیه گاه بستگی دارد. لذا در این تحقیق سعی شده است با مدل کردن توده سنگ درزه دار به کملک مدل چند لایه (Multilaminar) و با انجام تحلیل غیر خطی ویسکوپلاستیک، پایداری در حالت های مختلف لایه بندی و نیز برای تکیه گاه شامل چند سری درزه بررسی شود و اثر عوامل فوق الذکر بر پایداری تکیه گاه مورد مطالعه قرار گیرد. مدل چند لایه بر اساس روش ماده معادل و با ترکیب پاسخ سنگ سالم و درزه ها بدست می آید و قادر به مدل کردن لغزش، بسته شدن و بازشدن چندین مجموعه درزه در توده سنگی می باشد و قابلیت پذیرش هرگونه تابع شکست را دارد. با توجه به امکان وجود پند سری درزه در تکیه گاه در اثر نیروهای وارد به کملک این مدل قابل بیش بینی است.

کلمات کلیدی
سد قوسی - تکیه گاه - پایداری - درزه - توده سنگ - تحلیل عددی

Numerical Analysis of Behavior of Jointed Viour Rock Mass of Concrete Arch Dam Abutments

T. Ahmadi

Associate Professor

Civil Engineering Department,
Tarbiat Modares University

M. H. Sadaghyani

Assistant Professor

Civil Engineering Department,
Sharif University of Technology

H. A. Maghsudi Shoorabi
Graduate Student

Civil Engineering Department, Tarbiat Modares University

Abstract

Rock abutments of arch dam consist of jointed rock mass whose strength is based on strike, dip, spacing and behaviour of rock joints. Behaviour of rock joints depends on spacing, friction, wall strength of joint, joint filling amount and water pressure. Abutments are the most important and sensitive parts of arch dam sites. In fact the stability of dam depends directly on the stability of its abutments. Therefore in this research jointed rock mass of abutment is modeled by using a multilaminar model. The stability of abutment is studied in different cases of bedding and joint sets. The constitutive model for joint sets is a nonlinear viscoplastic material. The multilaminar model is based on an equivalent material approach and is obtained by integrating of mechanical response of intact rock and joints. It is capable of modeling sliding/opening/closing of multiple joint sets in the rock mass and any yield function of joint can be incorporated in it. Here we take use of this model for predicting the sliding in abutments of dam under hydrostatic force, rock weight and uplift loads using Barton's criterion.

Keywords

Arch dam, Abutment, Stability, Joint, Rock mass, Numerical analysis

مقدمه

- وابستگی خصوصیات مصالح به تنفس
- تأثیر مقیاس و ابعاد توده سنگ در پیش بینی رفتار سنگ
- گوناگونی و پراکندگی نتایج آزمایشات انجام شده روی توده سنگ.
- وجود ناپیوستگی‌ها در توده سنگ باعث کاهش مقاومت کششی تا حد صفر و افزایش قابلیت فشردگی در جهت عمود بر ناپیوستگی‌ها شده و از طرفی در راستای ناپیوستگی، مقاومت بشی کاهش و نفوذپذیری در این امتداد افزایش می‌آید. مجموعه این عوامل امکان بروز مشکلات گوناگونی در رابطه با پایداری تکیه گاه سد فراهم می‌کند و در صورتیکه تکیه گاه‌ها و بی‌دارای این نقصان‌ها باشد، باعث ناپایداری سد می‌گردد. مشخصات عمدۀ ناپیوستگی‌هایی که در طراحی سازه‌های مهندسی بویژه طراحی سد از اهمیت زیادی برخوردارند عبارتند از:
- موقعیت هندسی ناپیوستگی‌ها شامل امتداد، شیب، تعداد دسته، نوع، فاصله و اندازه قطعات.
- وضعیت سطح ناپیوستگی‌ها شامل ناهمواری و زبری، مقاومت دیواره، بازشدنگی، پرشدنگی و نفوذپذیری.
- وضعیت سطح ناپیوستگی نقش حیاتی در مقاومت بشی و پایداری توده سنگ دارد و چنانچه دیواره‌های ناپیوستگی با هم در تماس باشند زبری و ناهمواری عامل تعیین کننده‌ای در مقاومت سنگ می‌باشد. اnder کنش سازه سدهای قوسی و توده سنگ تکیه گاه بستگی به خواص مکانیکی ناپیوستگی‌ها، امتداد، شیب و فواصل آنها در توده سنگ دارد.

مدل چند لایه (Multilaminate Model)

در اینجا مایک مدل پیشرفتۀ را که براساس تئوری الاستوویسکوپلاستیسیته بیان شده می‌آوریم که قادر به مدل کردن لغزش، باز شدن و بسته شدن چندین سری درزه در توده سنگ می‌باشد [۱۱]. این مدل، مدل چند لایه می‌باشد. فواید زیادی در مدل کردن رفتار مکانیکی سنگ‌ها و توده‌های سنگ با تئوری الاستوویسکوپلاستیک وجود دارد. اول اینکه قابلیت وارد نمودن وابستگی زمانی رفتار سنگ و توده سنگی را داراست. حتی اگر پارامتر λ (ضریب روانی) مناسبی از آزمایشات موجود نباشد و یک مدل ویسکوپلاستیک کاذب پذیرفته شود یک تاریخچه‌ای از تغییر مکان و تنفس بدست می‌آید که به مطالعه مسائلی مانند زمان اجرای پوشش و راک بولت در سازه‌های سنگی کمک بسیاری می‌کند. از طرفی این مدل از مدل الاستوپلاستیک راحت‌تر است زیرا در تحلیل الاستوپلاستیک اگر قانون جریان غیر

توده سنگ تکیه گاه سد دارای ناپیوستگی‌های متنوعی می‌باشد و این عامل باعث رفتار ناهمسان در مقابل بارهای اعمال شده می‌شود. خصوصیات مکانیکی و فیزیکی ناپیوستگی‌ها و مشخصاتی مانند جهت، امتداد و شیب آنها نسبت به یکدیگر و نسبت به نیروهای واردۀ از طرف سد و وضعیت سطوح ناپیوستگی‌ها از عوامل اصلی کنترل کننده پایداری تکیه گاه سد می‌باشد. چه بسا توده سنگ مشکل از مواد سنگی قوی باشد اما در اثر وجود نقاط ضعف از ناحیه ناپیوستگی‌ها و به علت لغزش و شکست برشی در این نواحی ناپایدار شده و باعث تخریب سد گردد. به همین دلیل تکیه گاه‌ها از نظر پایداری مناطق بحرانی می‌باشند زیرا تغییر شکل‌های مداوم تکیه گاه‌ها و تسلیم آنها در مقابل نیروهای رانش قوس باعث تغییر تنفس و انتقال بار در بدنه سد و تکیه گاه‌ها می‌شود. در شرایط بحرانی تر تسلیم و یا ناپایداری تکیه گاه‌ها، برخی نواحی دیواره سد در معرض تنفس اضافی قرار گرفته و نهایتاً منجر به خرابی سد می‌شود. در گذشته برای اطمینان از پایداری تکیه گاه سنگی سد از روش‌های لوند و هنری استفاده شده است که از این دو روش می‌توان در مراحل اولیه تحلیل و طراحی سد استفاده نمود. همچنین در تحلیل‌های عددی توده سنگ همسان و همگن فرض شده است در حالیکه وجود درزه‌ها باعث رفتار غیرخطی و ناهمسانی توده سنگ می‌شود. چنانچه درزه‌های موجود در تکیه گاه محدود باشد می‌توان با مدل کردن درزه‌ها با المان درز پایداری تکیه گاه را به طور دقیق تر بررسی نمود [۴]. اما اگر در تکیه گاه چند سری دسته درزه موجود باشد، این روش قابل کاربرد نیست و باید از مدل مناسبی استفاده نمود. یک راه انجام آزمایشات درجا برای بدست آوردن خصوصیات مکانیکی توده سنگ می‌باشد. این آزمایشات گران وقت‌گیر بوده و تفسیر نتایج آنها پیچیده است. از این رو سعی بر این است که با بکار بردن خواص مکانیکی سنگ و درزه‌ها مدلی مناسب ارائه شود که بیانگر رفتار توده سنگ باشد. در این تحقیق با انتخاب مدلی مناسب تأثیر درزه‌ها با انجام دادن تحلیل غیرخطی و محاسبه تنفس و کرنش در تکیه گاه بررسی شده است.

تأثیر درزه‌ها بر رفتار سنگ

توده سنگ‌ها به علت وجود ناپیوستگی‌ها و نقصان‌ها عموماً غیر همگن و ناهمسان بوده و این امر باعث رفتار غیر خطی توده سنگ می‌شود. مهمترین تأثیراتی که ناپیوستگی‌ها بر رفتار توده سنگ می‌گذارند به شرح زیر است:

- کاهش مقاومت بشی و کشنشی به ویژه در اثر وجود درزه‌ها

که D^J یک ماتریس سختی 3×3 و $\sigma = [\sigma_n \tau_{S1} \tau_{S2}]^T$ بودار تنش در سیستم مختصات محلی است. اعضای ماتریس سختی در محدوده تنش‌های وارده ثابت نمی‌باشد، اما اگر توجه خود را به رفتار الاستیک معطوف کنیم، این اعضای را می‌توان ثابت فرض نمود. معمولاً در عمل ترم‌های غیرقطری ماتریس سختی صفر فرض می‌شوند و ترم‌های غیرصفر سختی نرمال D_n^J و سختی پرشی D_{S1}^J و D_{S2}^J موجود می‌باشند که برای ساده سازی بیشتر D_{S1}^J با D_{S2}^J مساوی فرض می‌شود. بنابراین شکل ساده شده D^J که در مسائل عملی استفاده می‌شود به صورت زیر است.

$$D^J = \begin{bmatrix} D_n^J & 0 & 0 \\ 0 & D_{S1}^J & 0 \\ 0 & 0 & D_{S2}^J \end{bmatrix} \quad (2)$$

و ماتریس نرمی یک درزه عکس این ماتریس سختی می‌باشد یعنی:

$$C^J = [D^J]^{-1} \quad \delta = C^J \sigma \quad (3)$$

ماتریس نرمی سری درزه موازی هم بصورت زیر بدست می‌آید.

$$C^{JS} = f C^J \quad (4)$$

که C^{JS} ماتریس نرمی سری درزه (Joint set) و f فرکانس درزه‌ها است. این ماتریس سختی بدست آمده برای سری درزه، در سیستم مختصات محلی سری درزه می‌باشد. برای آنکه بتواند با ماتریس نرمی‌های دیگر جمع شود باید به سیستم مختصات کلی انتقال یابد یعنی:

$$C^{JSG} = f T^T C^J T \quad (5)$$

همبسته داشته باشیم، ماتریس سختی نامتقارن شده و با توجه به اینکه بارها باید بصورت جزء نیرو وارد شوند، منجر به محاسبات زیاد و طولانی می‌شود که مقرن به صرفه نیست. در صورتی که در مدل الاستوویسکوپلاستیک ترکیب قانون جریان غیرهمبسته و نرم شوندگی کرنش براحتی قابل کاربرد است و برای یک بار وارده حتی اگر تحلیل همگرا نشود، جواب‌های خوبی بدست می‌آید.

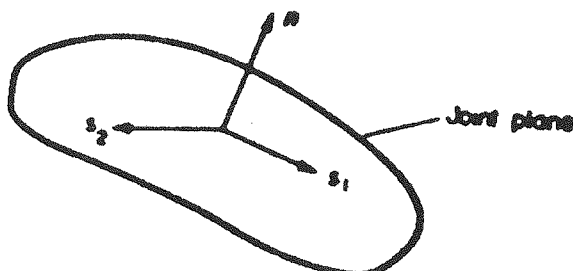
فرضیات این مدل عبارتند از:

- ۱- تمام درزه‌های یک سری پیوسته، موادی و بدون پرشگی فرض می‌شوند.
- ۲- فاصله درزه‌ها در یک سری یکنواخت و خیلی کوچکتر از ابعاد سازه‌ای است که باید تحلیل شود.

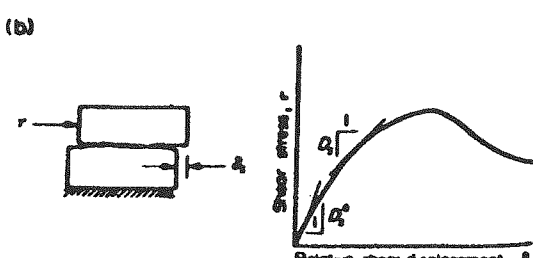
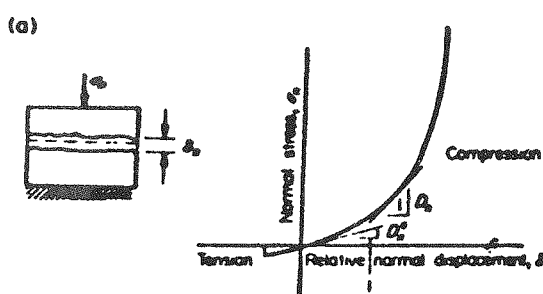
محاسبه ماتریس الاستیسیته توده سنگ درزه‌دار [۸]

اگر یک درزه صفحه‌ای پیوسته با محورهای محلی n ، s_1 و s_2 (همانگونه که در شکل ۱ نشان داده شده) فرض شود. روی سطح درزه، تنش‌ها با تنش قائم σ_n و تنش‌های پرشی τ_{S1} و τ_{S2} بیان می‌شود. تغییر مکان‌های نسبی در سه جهت در طول محورهای n با δ_n ، s_1 با δ_{S1} و s_2 با δ_{S2} مشخص شده است. رابطه بین تنش‌ها و تغییر مکان‌های نسبی به صورت زیر می‌باشد.

$$\sigma = D^J \delta \quad (1)$$

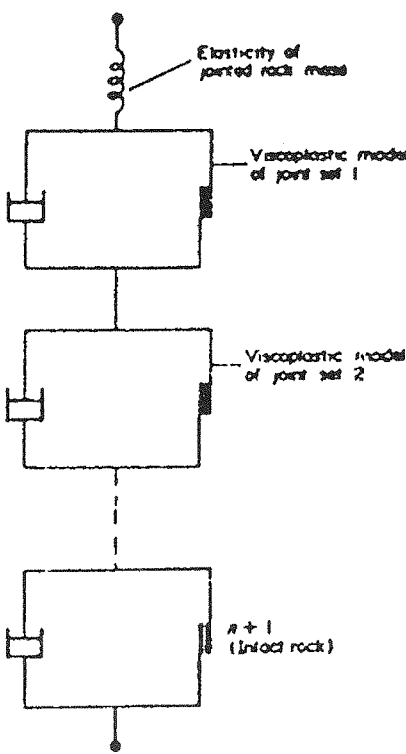


شکل (۱) سیستم مختصات محلی برای یک درزه.



شکل (۲) نمونه روابط تنش - تغییر مکان نسبی (a) σ_n بر حسب δ_n (b) τ_s بر حسب δ_s .

می دهد. وقتی تنش در درزه ها یا در سنگ سالم به مرحله شکست رسید، جریان پلاستیکی توده سنگ جایگزین می شود که کرنش های پلاستیک توده سنگ درزه دار با این مدل قابل محاسبه است.



شکل (۳) مدل فیزیکی مدل چند لایه.

تنش های توده سنگ در مختصات کلی به مختصات محلی انتقال می یابد.

$$\sigma_k = T_k \sigma \quad (11)$$

که σ_k تنش های نرم الی و برشی روی درزه و T_k ماتریس انتقال درزه k ام می باشد. اگر تابع شکست k امین سری درزه بصورت زیر نوشته شود

$$F_k(\sigma_k) = 0 \quad (12)$$

و یک قانون جریان غیر همبسته فرض شود تابع پتانسیل پلاستیک Q نیز لازم خواهد بود.

$$Q_k(\sigma_k) = \text{cte.} \quad (13)$$

در اینجا هر تابع شکست پتانسیل قابل جاگذاری است. با استفاده از تئوری الاستو ویسکو پلاستیسیته معادله

که C^{JSG} ماتریس نرمی سری درزه در مختصات کلی است و T در اینجا ماتریس انتقال 6×3 می باشد و با استفاده از زوایای امتداد (α) و شیب درزه (β) قابل محاسبه است.

$$T = \begin{bmatrix} \sin^2 \beta \cos^2 \alpha & \sin^2 \beta \sin^2 \alpha & \cos^2 \beta & -\sin^2 \beta \sin 2\alpha & -\sin \alpha \sin 2\beta & \cos \alpha \sin 2\beta \\ -\frac{1}{2} \sin 2\alpha \sin \beta & \frac{1}{2} \sin 2\alpha \sin \beta & 0 & -\sin \beta \cos 2\alpha & -\cos \alpha \cos \beta & -\sin \alpha \cos \beta \\ -\frac{1}{2} \cos^2 \alpha \sin 2\beta & -\frac{1}{2} \sin^2 \alpha \sin 2\beta & \frac{1}{2} \sin 2\beta & \frac{1}{2} \sin 2\alpha \sin \beta & \sin \alpha \cos 2\beta & -\cos \alpha \cos 2\beta \end{bmatrix} \quad (6)$$

اگر n سری درزه داشته باشیم نرمی کل C^* بصورت زیر بدست می آید.

$$C^* = \sum_{m=1}^n f_m T_m^T C_m^J T \quad (7)$$

کرنش کلی در توده سنگ جمع کرنش های سنگ سالم و کرنش های مربوط به سری درزه ها می باشد یعنی:

$$\epsilon^{RM} = \epsilon^{le} + \epsilon^{je} = C^I \sigma + C^* \sigma = (C^I + C^*) \sigma \quad (8)$$

یا به عبارت دیگر می توان نوشت:

$$\sigma = (C^I + C^*)^{-1} \epsilon^{RM} = D^{RM} \epsilon^{RM} \quad (9)$$

D^{RM} ماتریس الاستیسیته توده سنگ درزه دار است که به صورت زیر بدست می آید.

$$D^{RM} = \left[C^I + \sum_{m=1}^n f_m T_m^T C_m^J T \right]^{-1} \quad (10)$$

در عمل معمولاً n کمتر از 5 است و اگر بیشتر باشد ناهمسانی که به موجب سری درزه ها ایجاد می شود از بین رفته و توده سنگ به صورت همسان رفتار می کند.

بررسی ناهمسانی مقاومت

از نظر فیزیکی می توان این مدل را با شکل زیر نشان داد.

یعنی توده سنگ شامل واحدهای رثولوژیکی است که هر کدام یک سری درزه را نشان می دهد و یکی نیز مربوط به سنگ سالم است. در این مدل هر واحد شامل یک لغزنده و یک مستهلک کننده است که رفتار ویسکو پلاستیک درزه را نشان می دهند. یک فنر منفرد پاسخ الاستیکی را نمایش

بدست می آید] ۱۰ [.

$$D_{t_{cr}} = \frac{4(1+\nu)(1-2\nu)}{E(1-2\nu + \sin^2 \phi_j^{\min})} \quad (16)$$

که در آن E و ν مدول الاستیسیتی و ضریب پوآسن توده سنگ می باشند و ϕ_j^{\min} حداقل مقدار ϕ_j (زاویه اصطکاک) برای سری درزه می باشد. اگر E برحسب مگاپاسکال باشد، $D_{t_{cr}}$ برحسب ثانیه می باشد.

محدودیت های این مدل همانگونه که در فرضیات اشاره شده این است که فاصله درزه ها کوچکتر از ابعاد سازه تحلیل شده باشد و درزه دارای ماده پر کننده نباشد یا اینکه حجم آن در مقایسه با حجم سنگ خیلی ناجیز باشد. در این مدل فرض می شود که درزه قادر به تحمل کشش نمی باشد، بنابراین وقتی درزه در کشش باشد تنفس برشی را نیز تحمل نمی کند. وقتی درزه تحت کشش قرار می گیرد، توابع پتانسیل و تسلیم مربوط به ناحیه کشش استفاده می شود. همچنین وقتی که درزه باز شده، تحت فشار قرار می گیرد تا زمانی که درزه بسته نشود تابع پتانسیل و تسلیم ناحیه کشش بکار می رود. مدل چند لایه قادر به در نظر گرفتن ناهمسانی مدول الاستیسیتی و مقاومت توده سنگ در اثر وجود درزه ها است و قادر به مدل نمودن رفتار اصطکاکی درزه است و قابلیت پذیرش هرگونه تابع تسلیم برای سطوح ناپیوستگی و مدل نمودن بازشدن، بسته شدن و لغزش چندین دسته درزه را دارد.

برنامه تحلیل توده سنگ درزه دار تکیه گاه سد [۳]

بعد از انتخاب مدل، برنامه تحلیل توده سنگ تهیه شده که قادر است تنفس ها و کرنش ها را محاسبه نماید. چون برنامه های تحلیلی سازه سد فراوان در دسترس است در اینجا برنامه تنها برای تکیه گاه نوشته شده و نیروهای وارد شده از طرف سد به تکیه گاه با فرض رفتار قوسی سد همانند استوانه ای نازک بدست می آید و خود بدنه سد مدل نشده است. طبق این فرض تنفس در محل تماس سد و تکیه گاه با رابطه تقریبی زیر بدست می آید.

$$\sigma = \frac{p_s \cdot r}{t} \quad (17)$$

که در آن p_s فشار نیروی هیدرولاستاتیک، r شعاع متوسط قوس و t ضخامت سد زیر تراز مورد نظر می باشند. بعد از معرفی هندسه تکیه گاه، قیود و مشخصات مکانیکی سنگ و درزه به برنامه، ابتدا ماتریس الاستیسیتی

جريان برای یک سری درزه می تواند به صورت زیر نوشته شود.

$$\dot{\epsilon}_k^{vp} = \mu_k < F_k > \frac{\partial Q_k}{\partial \sigma_k} \cdot \frac{\partial \sigma_k}{\partial \sigma} \quad (18)$$

$$\dot{\epsilon}_k^{vp} = \begin{bmatrix} \dot{\epsilon}_x^{vp} & \dot{\epsilon}_y^{vp} & \dot{\epsilon}_z^{vp} & \dot{\gamma}_{xy}^{vp} & \dot{\gamma}_{yz}^{vp} & \dot{\gamma}_{xz}^{vp} \end{bmatrix}$$

که سهم k امین سری درزه از کرنش های ویسکوپلاستیک بوده و μ_k پارامتر سیلان درزه می باشد. $< F_k >$ نیز دارای مفهوم زیر است.

$$\begin{cases} < F_k > = 0 & \text{IF } F_k \leq 0 \\ < F_k > = F_k & \text{IF } F_k > 0 \end{cases} \quad (19)$$

سنگ سالم بذرگت به تسلیم می رسد مگر آنکه قیود زیاد باشند. اما برای تکمیل شدن مدل نرخ کرنش ویسکوپلاستیک سنگ سالم نیز به مقادیر مربوط به سری درزه ها اضافه می شود.

$$\dot{\epsilon}^{vp} = \mu_i < F_i > \frac{\partial Q_i}{\partial \sigma} + \sum_{k=1}^n \mu_k < F_k > \frac{\partial Q_k}{\partial \sigma_k} \cdot \frac{\partial \sigma_k}{\partial \sigma} \quad (20)$$

اگر تغییرات کرنش ویسکوپلاستیک برای توده سنگ مشخص باشد روش حل ویسکوپلاستیک قابل کاربرد است. پارامترهای لازم برای این مدل عبارتند از:

- مشخصات سنگ سالم شامل الاستیسیتی و ضریب پوآسن در حالت همسان یا ناهمسان، تابع تسلیم (شکست) و تابع پتانسیل. در بسیاری از مسائل عملی فرص می شود که سنگ سالم به تسلیم نمی رسد و توجه چندانی به آن لازم نیست.
- برای هر سری درزه امتداد، شبیه، سختی الاستیک (D_s)، D_u ، فاصله درزه ها، معیار شکست و تابع پتانسیل پلاستیک

- پارامتر سیلان. اگر واپستگی حقیقی در رفتار توده سنگ درزه دار مورد نظر باشد باید این پارامتر از آزمایش بدست آید. روش محاسبه این پارامتر از آزمایشات در فصل هفدهم مرجع ۸ آمده است. اما اگر زمان یک پارامتر کاذب باشد انتخاب مقدار دلخواهی می تواند صورت گیرد.

- معمولاً روش استفاده شده برای حل الگوریتم ویسکوپلاستیک روش جلو روینه اول است که در آن تغییرات کرنش های پلاستیک در یک گام زمانی ثابت فرض می شود. به همین سبب احتمال عدم همگرایی وجود دارد طبق پیشنهاد کورمثو اگر معیار شکست موهر - کولب بکار رود حداقل گام زمانی که منجر به واگرایی نخواهد شد به صورت زیر

باشیم. یعنی اگر h ارتفاع آب تا گره مزبور باشد، فشار در آن نقطه برابر $\theta \gamma h$ می باشد که توزیع θ در تکیه گاه را به صورت شکل ۵ فرض کرده ایم.

با داشتن فشار گرهی و با توجه به مفهوم پتانسیل نیروی حجمی، نیروی حجمی در سه جهت به صورت زیر بدست می آید.

$$b_x = \frac{\partial p}{\partial x}, \quad b_y = \frac{\partial p}{\partial y}, \quad b_z = \frac{\partial p}{\partial z} \quad (20)$$

این سه مقدار در داخل هر المان قابل محاسبه است. آنگاه نیروی گرهی ناشی از این نیروی حجمی بصورت زیر محاسبه شده است.

$$f = \int_V N^T \cdot b \cdot dv \quad (21)$$

مدل تکیه گاه یک سد دوقوسی

تکیه گاه در نظر گرفته شده مربوط به یک سد دوقوسی می باشد. برای تولید هندسه تکیه گاه، از مشخصات سد امیرکبیر استفاده شده است. دیواره رودخانه و دره بصورت مستقیم فرض شده و با استفاده از تقارن تنها نیمی از کل تکیه گاه و قسمتی که نیروی سد وارد می شود و پایین دست آن در نظر گرفته شده است. مدل تکیه گاه و ابعاد آن در شکل ۴ نشان داده شده است. بعد از مشخص کردن هندسه تکیه گاه باید آنرا المان بندی نمود.

برای همین منظور محدوده بالا به ۴۸۶ المان تقسیم شده و شامل ۷۰۰ گره می باشد. المان های نزدیک محل تماس سد با تکیه گاه کوچکتر از نقاط دورتر انتخاب شده است. شماره المان هایی که بار سد به آنها اعمال می شود به برنامه معرفی می شود. با توجه به اندازه نیرویی که در بخش قبل بصورت تقریبی بدست آمد، جهت نیرو نیز باید مشخص باشد، به همین منظور فرض می شود که زاویه نیروی اعمالی از طرف بدنه سد به تکیه گاه با محور z حدود ۱۵ درجه کمتر از زاویه مماس بر قوس با محور z می باشد. در صفحه $x=0$ گره ها در جهت z مقید می باشند. در محل پرده آب بند که فشار آب مستقیماً به آن وارد می شود نیز گره ها آزادی حرکت دارند اما در جاهای دیگر که توده سنگ مورد نظر از بقیه قسمت ها جدا شده، در سه جهت x, y, z قید داریم که شامل گره های روی صفحه $y=480$ می شود. المان ها ۸ گرهی در نظر گرفته شده و هر المان دارای ۸ نقطه گوس می باشد.

تحلیل تکیه گاه دارای چند سری ناپیوستگی

بیشتر توده های سنگی دارای مجموعه درزه هایی

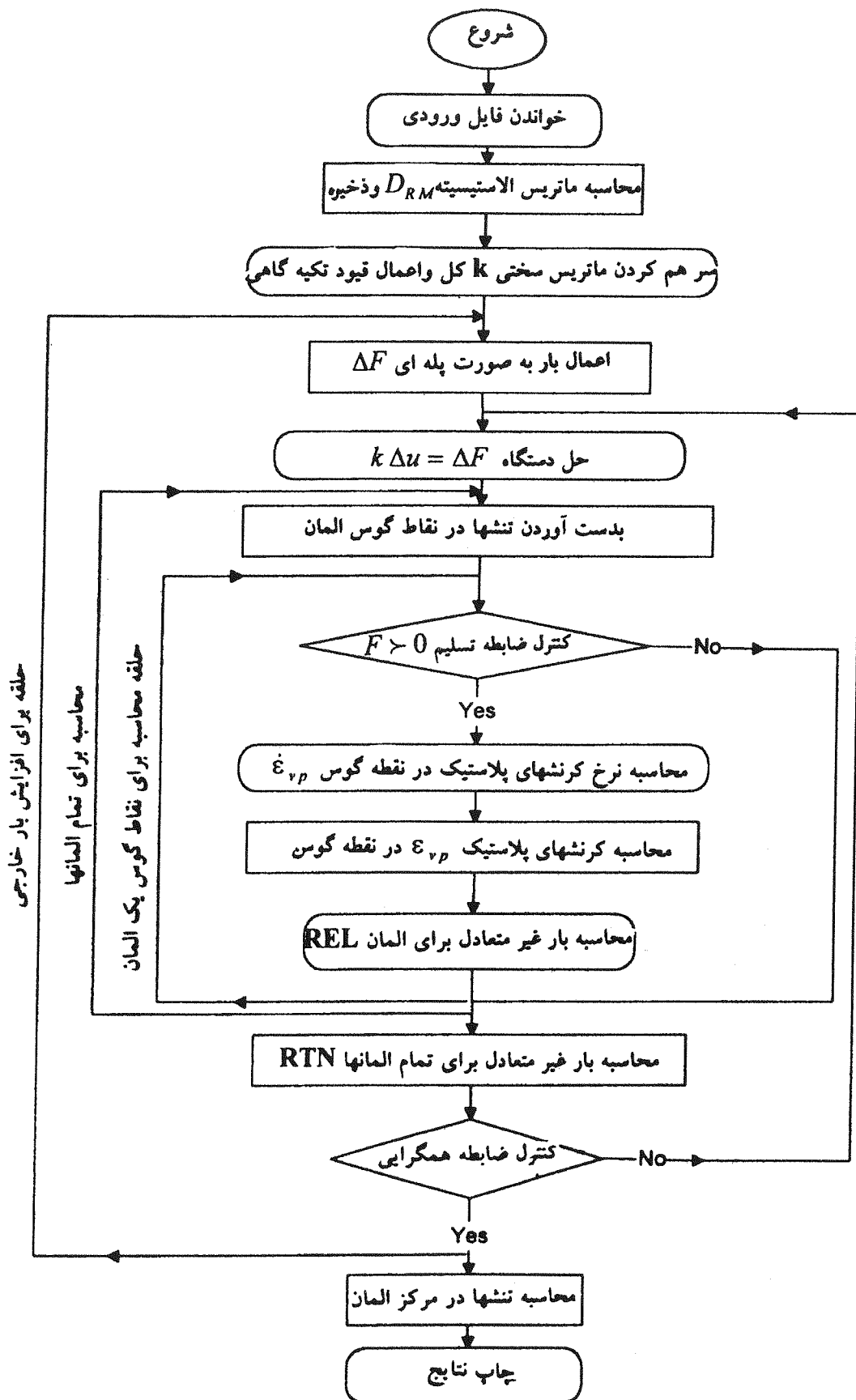
توده سنگ بدست می آید. سپس ماتریس سختی کل توده سر هم شده و قیود تکیه گاهی نیز اعمال می شود. با اعمال بار به توده، تغییر مکان ها بدست آمده، سپس تنش هادر نقاط گوس المان ها محاسبه می شوند. اگر تحلیل غیر خطی مورد نظر باشد تنش ها در ضوابط تسیلیم چک می شوند و کرنش های پلاستیک در هر نقطه گوس محاسبه شده، آنگاه بار غیر متعادل گرهی برای هر المان و سپس در سرتاسر توده محاسبه شده و ضابطه همگرایی چک می شود. در صورت اراضی ضابطه همگرایی تنش در مرکز هر المان محاسبه می شود. در غیر این صورت بار غیر متعادل اعمال شده و تغییر مکان مربوط به آن محاسبه می شود و تکرار صورت می گیرد تا همگرایی صورت گیرد. ضابطه همگرایی بکار رفته ضابطه انرژی است و به صورت زیر می باشد.

$$\Delta \sigma_n^T \cdot \Delta P_n < e. (\Delta \sigma_1)^T \cdot (\Delta P_1) \quad (18)$$

که در آن ΔP و Δa جزء نیرو و تغییر مکان و n بیانگر اولین گام بارگذاری و n بیانگر تکرار m می باشد و e عدد کوچکی است که شاخص همگرایی نامیده می شود. الگوریتم کلی برنامه در شکل ۴ نشان داده شده است. نوع تحلیل غیر خطی، ویسکوپلاستیک می باشد که در آن ماتریس سختی ثابت است. بعد از محاسبه نرخ کرنش های ویسکوپلاستیک نقاط گوس روی درزه ها و جمع آنها، بار غیر متعادل به صورت زیر بدست می آید.

$$r_i^n = \sum \int_{V_i} B^T D_{RM} (D t) \cdot \epsilon_{t-\Delta t}^{ip}. dv \quad (19)$$

قبل از اعمال بار سد به تکیه گاه باید برآورده از تنش های اولیه در توده سنگ داشته باشیم بخصوص در تحلیل غیر خطی که گسیختگی واپسی به تنش اولیه است. از این رو یک تحلیل جداگانه برای بدست آوردن تنش های اولیه باید انجام گیرد. برای این کار ما فرض کرده ایم که نیروی حجمی قائمی به شدت γ به تمام محدوده مورد نظر وارد می شود. علاوه بر نیروی هیدرواستاتیک آب که بر سد وارد شده و سد آنرا به تکیه گاه منتقل می کند، نیروی دیگری نیز در اثر وجود آب به تکیه گاه وارد می شود که نیروی برکش نامیده می شود. این نیرو سهم عده ای از نیروهای وارد را دارد و تخمین آن در بی و تکیه گاه نیاز به داشتن نفوذ پذیری و یک تحلیل جریان در سنگ دارد که آن هم می تواند با در نظر گرفتن سیستم درزه ها، جهت، امداد، فاصله آنها و تنش های تحمل شده با یک تحلیل اجزاء محدود بدست آید. اما ما در اینجا برای سادگی فرض کرده ایم که فشار در نقاط گرهی را داشته



شکل (۴) الگوریتم کلی برنامه.

سنگ سالم می باشد. سختی قائم و برشی درزه ها و نیز فاصله آنها بصورت زیر فرض شده اند.

$$D_N^J = 50000 \frac{\text{Mpa}}{\text{m}} \quad D_S^J = 25000 \frac{\text{Mpa}}{\text{m}} \quad D = 2\text{m}$$

که D_N^J و D_S^J سختی برشی قائم و برشی درزه بوده و D فاصله بین دو درزه می باشد.

در تمام تحلیل های انجام گرفته معیار تسلیم بار تن برای درزه استفاده شده و قانون جریان غیر همبسته بکار رفته است.

یعنی:

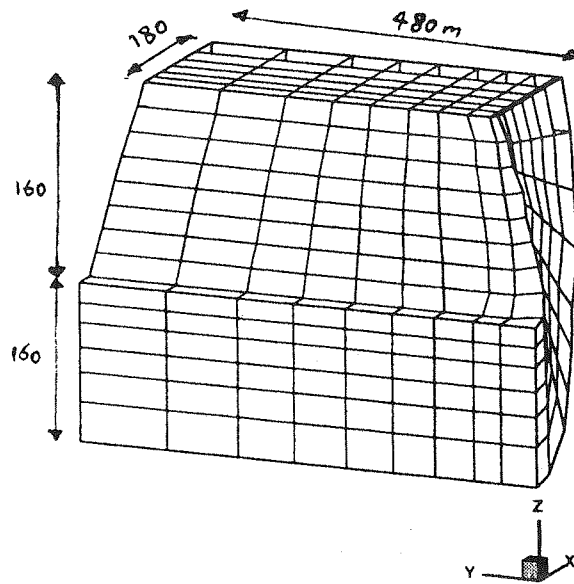
$$F = \left| \sigma_S \right| - \sigma_n \cdot \tan(JRC \log_{10} \frac{JCS}{\sigma_n} + \phi_r) \quad (21)$$

$$Q = \left| \sigma_S \right| - \frac{\sigma_n \tan \lambda_2}{k_1} - \frac{JRC}{263.86} \cdot \frac{\sigma_n^2}{JCS} \quad (22)$$

که در آن:

$$k_1 = 1 - \tan \lambda_2 \cdot \tan \phi_r, \quad \lambda_2 = \lambda_1 - \phi_r \quad \lambda_1 = JRC \log_{10} \left(\frac{JCS}{\sigma_n} \right) + \phi_r$$

در روابط بالا σ_n و σ_S بترتیب تنش های قائم و مماس بر

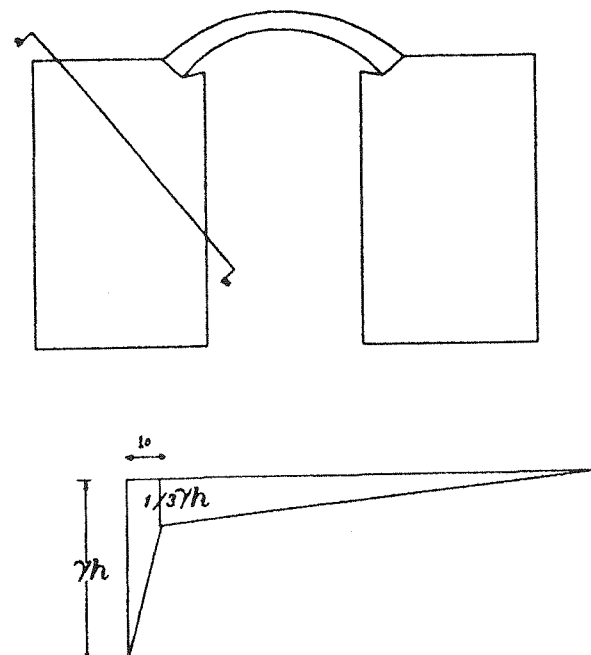


می باشد، که نقش مهمی در شکل پذیری و مقاومت ایفا می کنند. یکی از مواردی که مطالعه و بررسی آن لازم می شود، بی و تکیه گاه سدها می باشد که دارای چند درزه موازی است. البته تشخیص و شناسایی دسته ها، تعیین امتداد و شبیه و خواص مکانیکی درزه ها مستلزم داشتن بهره کافی از داشن مکانیک سنگ و زمین شناسی می باشد. پس از شناخت باید نحوه رفتار آنها در اندر کش با سازه سد و اثری که بر پایداری سد می تواند داشته باشد، بررسی شود. در اینجا سعی شده با بهره گیری از مدل چند لایه رفتار توده سنگ تکیه گاه دارای چند سری درزه، تحت نیروهای وارد از طرف سد و فشار برکنش مورد مطالعه قرار گیرد. معمولاً ۳ یا ۴ سری درزه در توده سنگ تکیه گاه وجود دارد. مادر اینجا علاوه بر لایه بندی سنگ که نقش مهمی در رفتار توده دارد، دو سری درزه دیگر در نظر گرفته ایم که در شکل ۶ نشان داده شده اند.

مطابق شکل (۶) بیانگر سطوح لایه بندی و D2 و D3 سری درزه های موازی موجود در تکیه گاه می باشند. مشخصات مکانیکی سنگ به صورت زیر در نظر گرفته شده است.

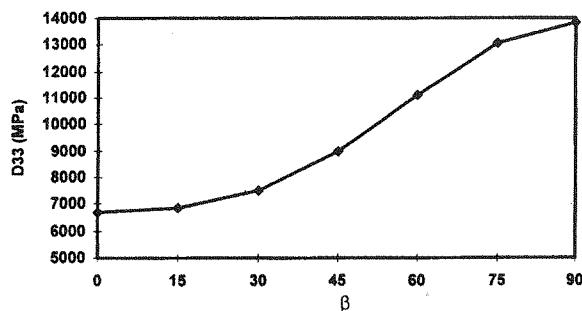
$$\gamma_R = 0.027 \frac{\text{MN}}{\text{m}^3}, \quad \phi_{IR} = 45^\circ, \quad C_{IR} = 20 \text{ Mpa}, \quad v_{IR} = 0.27, \quad E_{IR} = 12000 \text{ Mpa}$$

که ϕ_{IR} , C_{IR} , v_{IR} , E_{IR} و γ_R بترتیب مدول الاستیسیته، ضریب پواسن، چسبندگی، زاویه اصطکاک و وزن حجمی



شکل (۵) شکل تکیه گاه (a) ابعاد و نحوه المان بندی (b) توزیع فشار در تراز .h

برای بررسی این موضوع تابحال آزمایشات فیزیکی زیادی توسط محققین انجام گرفته است. نتیجه کلی اینکه در جهت موازی لایه بندی بیشترین مقدار مدل الاستیسیته و بعلاوه کمترین مقدار مقاومت توده سنگ در حالتی که شبی حدود ۶۰ درجه باشد اتفاق می‌افتد. بنابراین اثر شبی لایه بندی سنگ تکیه گاه بر رفتار آن باید مورد بررسی قرار گیرد. به همین منظور برای مدل ارائه شده سد و با شبی‌های مختلف لایه بندی تحلیل‌هایی صورت گرفته است تا اثر لایه بندی بررسی شود. امتداد و شبی لایه بندی در تکیه گاه حالات مختلفی می‌تواند داشته باشد. مثلًاً امتداد لایه‌ها عمود بر محور سد یا موازی آن باشد و شبی نیز بین ۰ تا ۹۰ درجه تغییر کند. به این منظور در حالتی که امتداد لایه‌ها موازی محور سد و شبی آنها به طرف بالا دست و پایین دست باشد و نیز حالتی که امتداد لایه‌ها عمود بر محور سد و شبی آنها به طرف خارج دره باشد تحلیل‌هایی انجام گرفته است. مقادیر شبی ۱۵، ۳۰، ۴۵، ۶۰، ۷۵ و ۹۰ درجه اختیار شده است. ضریب ناهمسانی مدل الاستیسیته (نسبت مدل الاستیسیته موادی لایه بندی به مدل الاستیسیته عمود بر لایه بندی) ۲ فرض شده است. با توجه به اینکه نیروی قائم ثقلی سهم قابل ملاحظه‌ای در توزیع تنش تکیه گاه دارد، به همین دلیل ما نیز اثر شبی لایه بندی را در حالت یاد شده بر مدل الاستیسیته در جهت قائم (محور z) D33 بررسی کرده‌ایم.



شکل (۷) اثر شبی لایه بندی بر مدل الاستیسیته توده سنگ در جهت z.

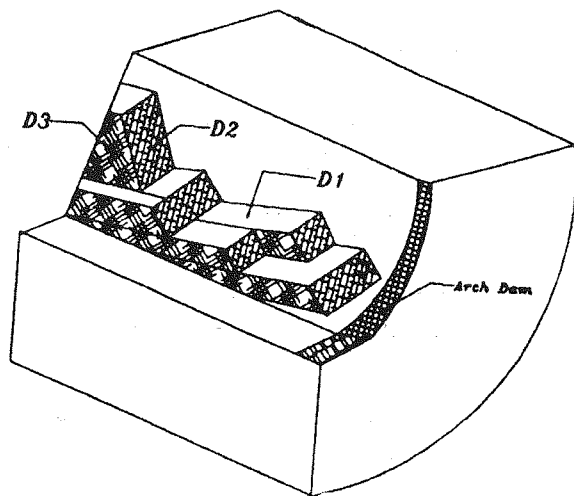
اثر شبی لایه بندی بر توزیع تنش در حالات مختلف نیز قابل بررسی است. امتداد درزه‌ها (α) نسبت به محور z و در جهت حرکت عقربه‌های ساعت بوده و بین ۰ تا ۳۶۰ درجه تغییر می‌کند شبی لایه بندی (β) نیز از ۰ تا ۹۰ تغییر کند. تغییر مکان ماکریزم ایجاد شده در تکیه گاه در اثر نیروهای وارده، با زاویه شبی لایه بندی به صورت زیر تغییر می‌کند و ملاحظه می‌شود که در شبی ۶۰ درجه که مقاومت توده سنگ کمتر است بیشترین تغییر مکان ایجاد می‌شود و وقتی که

سطح درزه می‌باشد. همچنین ϕ ، JRC و JCS بترتیب زاویه اصطکاک مانده درزه، ضریب زبری درزه و مقاومت فشاری دیواره درزه می‌باشد که در معیار بارتین بکار می‌روند. لازم به ذکر است که تأثیر مقیاس باعث کاهش مقدار JRC می‌شود. بطوريکه افزایش مقیاس باعث کاهش مقدار JRC می‌شود. روابطی که برای تأثیر مقیاس ارائه شده بصورت زیر می‌باشد.

$$JRC_n = JRC_0 \left[\frac{L_n}{L_0} \right]^{-0.02 JRC_0} \quad (22)$$

$$JCS_n = JCS_0 \left[\frac{L_n}{L_0} \right]^{-0.03 JCS_0} \quad (24)$$

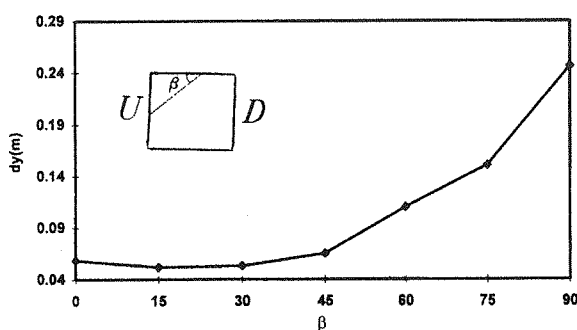
که JRC_0 و L_0 JCS_0 و L_0 مربوط به مقیاس پیشنهادی بارتین JRC_n و L_n مربوط به اندازه بلوك موجود در محل می‌باشد. یعنی اگر $L_0 = 0.1\text{ m}$, $JRC_0 = 85$, $JCS_0 = 85$, $L_N = 2\text{ m}$, $JRC_N = 5.5$ و $JCS_N = 35$ بدهست می‌آید. با توجه به آنچه راجع به گام زمانی و نحوه انتخاب آن گفته شد در اینجا فرض $\alpha = 1\text{ m}$ و مقدار $Dt = 0.0001$ برای تمام تحلیل‌ها در نظر گرفته شده است.



شکل (۶) تکیه گاه سد و سری درزه‌های موجود در آن.

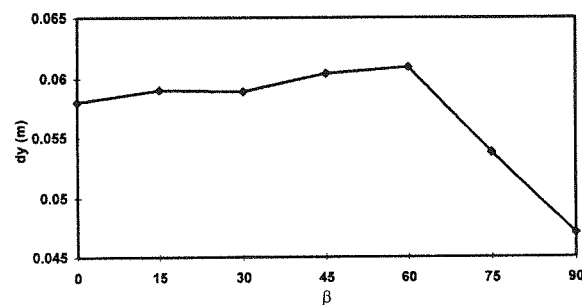
تحلیل تکیه گاه در حالات مختلف لایه بندی

یکی از موارد ناهمسانی توده سنگ تکیه گاه لایه بندی است که باعث می‌شود مدل الاستیسیته و ضریب پوآسن در امتداد لایه بندی و عمود بر آن متفاوت باشد. تغییر شبی لایه بندی منجر به ناهمسانی در مقاومت نیز می‌شود به طوری که در زوایای مختلف شبی لایه بندی، مقاومت ماکریزم توده سنگ مقادیر متفاوتی خواهد داشت.



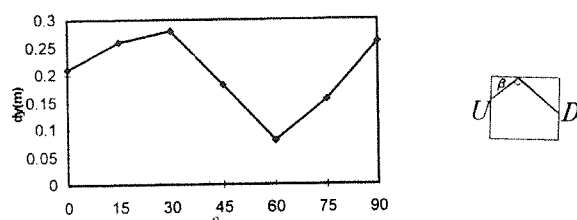
شکل (۱۰) اثر شیب لایه بندی بر مکان تغییر مکان تکیه گاه در حالت امتداد لایه بندی موازی محور سد و شیب به طرف بالا دست.

شیب ۹۰ درجه می باشد، یعنی وقتی که نیروی وزن و نیروی وارد از طرف سد تقریباً به موارات لایه بندی می باشد، کمترین تغییر مکان ملاحظه می شود و وضعیت مطلوبی از نظر لایه بندی می باشد. این موضوع در تحقیقی که توسط آقایان صدقیانی و جلالی انجام گرفته نیز نتیجه شده است. البته تحلیل انجام گرفته توسط ایشان خطی و الاستیک و با کمک نرم افزار ANSYS بوده است [۱].



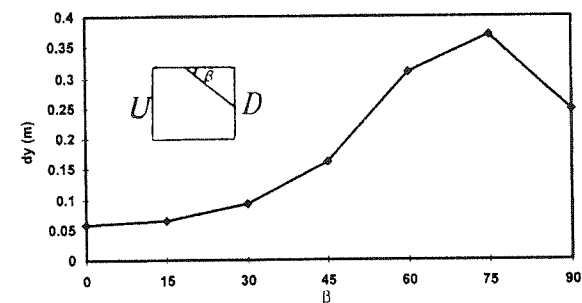
شکل (۸) اثر شیب لایه بندی بر مکان تغییر مکان ایجاد شده در تکیه گاه وقتی امتداد لایه بندی عمود بر محور سد باشد.

همچنین در حالتی که امتداد لایه ها موازی محور سد باشد، همانگونه که انتظار می رود وقتی شیب لایه ها به طرف بالا دست باشد نتایج بهتری نسبت به حالتی که شیب به طرف پایین دست است بدست می آید. نمودارهای مکریم تغییر مکان ایجاد شده در تکیه گاه بر حسب شیب لایه بندی در دو حالت در زیر آورده شده است.

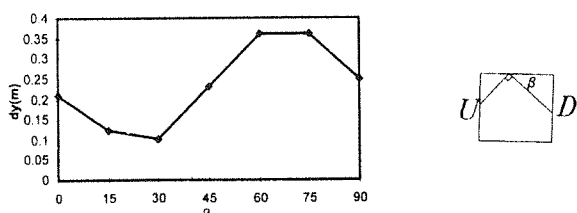


شکل (۱۱) اثر شیب بر مکان تغییر مکان تکیه گاه شامل دو سری درزه (لایه بندی به طرف بالا دست).

و در حالتی که لایه بندی به طرف پایین دست باشد تغییر مکان های مکریم به صورت زیر در می آید.



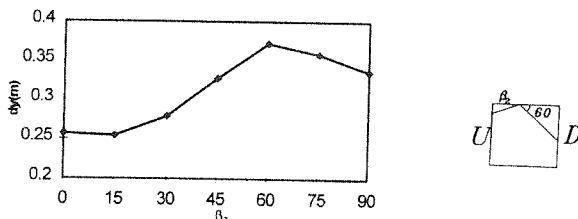
شکل (۹) اثر شیب لایه بندی بر مکان تغییر مکان تکیه گاه در حالت امتداد لایه بندی موازی محور سد و شیب به طرف پایین دست.



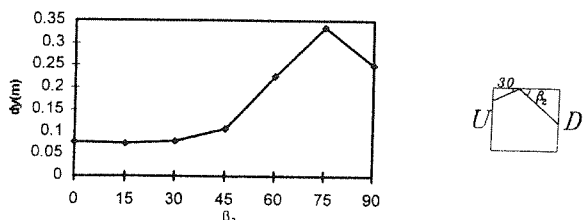
شکل (۱۲) اثر شیب بر مکان تغییر مکان تکیه گاه شامل دو سری درزه (لایه بندی به طرف پایین دست).

از نمودارهای بالا نتیجه می شود که در هر دو حالت وقتی شیب دسته درزه به طرف پایین دست، ۶۰ درجه باشد تغییر

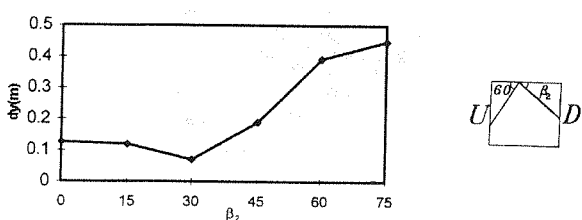
باید به این نکته توجه داشت که وقتی امتداد لایه بندی عمود بر محور سد می باشد و شیب تغییر می کند تقارن طبیعی دو تکیه گاه به هم خورده و باید دو تکیه گاه با هم مدل شوند، اما در اینجا تنها یک طرف مدل شده است و هدف بررسی اثر تغییر شیب می باشد.



شکل (۱۴) اثر شیب دسته درزه دوم بر تغییر مکان ماکریم تکیه گاه، وقتی لایه بندی به طرف پایین دست و شیب 60° درجه باشد.



شکل (۱۵) اثر شیب دسته درزه دوم بر تغییر مکان ماکریم تکیه گاه، وقتی لایه بندی به طرف بالا دست و شیب 30° درجه باشد.



شکل (۱۶) اثر شیب درزه دوم بر تغییر مکان تکیه گاه، وقتی لایه بندی به طرف بالا دست و شیب 60° درجه باشد.

در حالت شکل ۱۴ تغییر مکان‌ها نسبت به حالت قبل افزایش چشمگیری داشته و بیشترین مقدار در زاویه 60° درجه اتفاق می‌افتد.

در حالت شکل ۱۵ اگر شیب درزه دوم کمتر از 45° درجه باشد این‌تی بیشتری حاصل می‌شود. با افزایش شیب امکان ایجاد تغییر مکان‌های بزرگتر بیشتر می‌شود. در حالت‌های ذکر شده این‌تی ترین شرایط وقتی است که شیب دسته درزه دوم حدود 30° درجه باشد و با افزایش آن تغییر مکان‌های بزرگتری حاصل می‌شود. با آنکه معمولاً لایه بندی به طرف بالا دست شرایط این‌تی ایجاد می‌کند اما ملاحظه می‌شود که حالت لایه بندی با شیب 60° درجه به طرف بالا دست و شیب بیش از 60° درجه دسته دوم به طرف پایین دست بدترین حالت می‌باشد. از بررسی حالات بالا نتیجه می‌شود که نه تنها امتداد و شیب لایه بندی، بلکه امتداد و شیب دسته درزه دوم نیز بر مقاومت و پایداری تکیه گاه مؤثر می‌باشد. همانگونه که گفته شد اثر تغییر شیب بر

مکان بزرگتری ایجاد می‌شود. مثلاً وقتی لایه بندی به طرف بالا دست و با شیب 30° درجه باشد، بیشترین تغییر مکان در تکیه گاه اتفاق می‌افتد و این‌تی ترین حالت وقتی است که شیب لایه بندی 60° درجه باشد. در حالت لایه بندی به طرف پایین دست وقتی شیب 60° درجه باشد بیشترین تغییر مکان و وقتی دست را باشد این‌تی ترین حالت است. در کل لایه بندی به طرف بالا دست بهتر از لایه بندی به طرف پایین دست است. این نتیجه قبلاً نیز توسط ویکه ارائه شده است [۱۲].

تحلیل تکیه گاه دارای سه سری ناپیوستگی

علاوه بر دو سری ناپیوستگی که ذکر شد معمولاً سری درزه سومی هم عمود بر محور سد و به موازات محور رودخانه و با شیب 90° درجه وجود دارد. در این صورت با توجه به اثر لایه بندی حالات زیر مورد تحلیل قرار گرفته است.

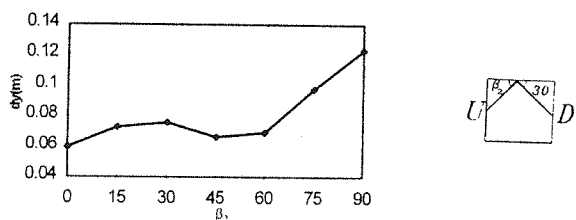
۱- حالتی که لایه بندی به سمت پایین دست و شیب آن مساوی 30° درجه باشد.

۲- حالتی که لایه بندی به سمت پایین دست و شیب آن مساوی 60° درجه باشد.

۳- حالتی که لایه بندی به سمت بالا دست و شیب آن مساوی 30° درجه باشد.

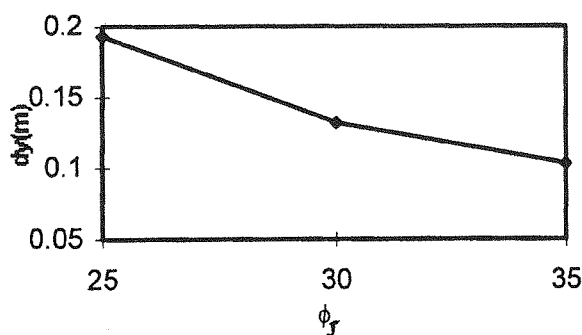
۴- حالتی که لایه بندی به سمت بالا دست و شیب آن مساوی 60° درجه باشد.

در تمام حالات ذکر شده، فرض شده که اولین دسته ناپیوستگی لایه بندی بوده و شیب دسته درزه دوم از 0° تا 90° درجه تغییر کند. دسته درزه سوم برای تمام حالات در امتداد محور رودخانه و قائم فرض می‌شود. برای تمامی حالات، تحلیل انجام گرفته که نتایج برحسب حداکثر تغییر مکان ایجاد شده در شکل‌های زیر رسم شده است. شیب سیستم درزه دوم را با β_2 نمایش میدهیم.

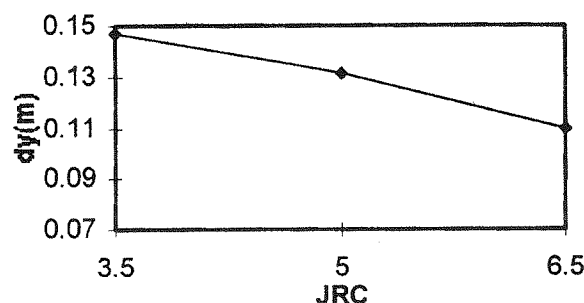


شکل (۱۳) اثر شیب دسته درزه دوم بر تغییر مکان تکیه گاه، وقتی لایه بندی به سمت پایین دست و شیب 30° درجه باشد.

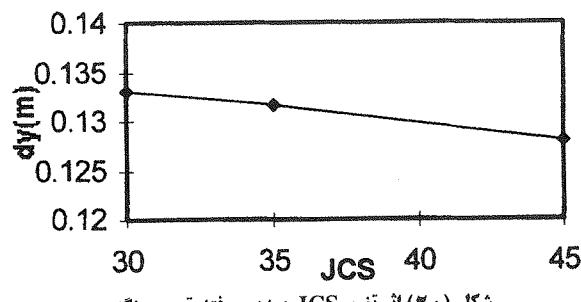
همانگونه که ملاحظه می‌شود با افزایش شیب دسته درزه دوم بیش از 60° درجه تغییر مکان افزایش می‌یابد. این حالت یکی از این‌تی ترین حالات می‌باشد.



شکل (۱۸) اثر تغییر ϕ درزه بر رفتار توده سنگ تکیه گاه.



شکل (۱۹) اثر تغییر JRC درزه بر رفتار توده سنگ.



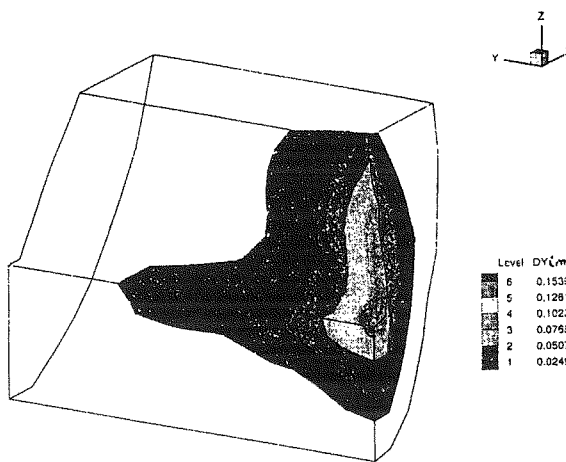
شکل (۲۰) اثر تغییر JCS درزه بر رفتار توده سنگ.

نتیجه‌گیری

با مدل کردن توده سنگ درزه دار تکیه گاه سد قوسی به کمک مدل چند لایه و با انجام تحلیل غیر خطی ویسکوپلاستیک رفتار توده سنگ درزه دار و عوامل مؤثر بر آن مورد بحث و بررسی قرار گرفت. با توجه به مدل تکیه گاه بکار رفته و با اعمال نیروهای وزن، هیدرواستاتیک و برکنش و تحلیل های انجام گرفته برای آن نتایج کلی زیر حاصل شده است.

- ۱- شیب و امتداد لایه بندی و سری درزه های دیگر موجود در توده سنگ تأثیر قابل ملاحظه ای بر رفتار آن دارند.
- ۲- در حالتی که فقط لایه بندی داشته باشیم و امتداد آن عمود بر محور سد و شیب آن 60° درجه باشد، کمترین مقاومت

بیشترین تغییر مکان تکیه گاه بررسی شده است. به عنوان نمونه کانتورهای تغییر مکان در تکیه گاه در حالتی که لایه بندی به طرف بالادرست و با شیب 60° و سری درزه دوم با شیب 45° درجه به طرف پایین دست و سری درزه سوم قائم و در امتداد عمود بر محور سد باشد در شکل ۱۷ نشان داده شده است. در تمام حالات بحث شده فرض شده که مقاومت اصطکاکی سطوح لایه بندی بیشتر از دسته درزه ۲ و ۳ می باشد. زیرا معمولاً درزه ها حاوی مقداری ماده پرکننده می باشند، که چسبندگی را افزایش و اصطکاک را کاهش می دهد. هر چند این امکان وجود دارد که پرکننده موجود مقاومت اصطکاکی را افزایش دهد.



شکل (۱۷) کانتورهای تغییر مکان در تکیه گاه.

بررسی اثر تغییر پارامترهای توده سنگ بر رفتار آن
در مدل ارائه شده می توان اثر تغییر JRC و JCS بر توزیع تنش و تغییر مکان را بررسی نمود. هر چند با توجه به اندازه بلlok و مطلبی که راجع به اثر مقیاس بر این پارامترها عنوان نمودیم، تغییر JRC و JCS در رفتار توده سنگ تغییر زیادی ایجاد نمی کند. اما زاویه اصطکاک ϕ نقش مهمی در رفتار درزه و مقاومت آن دارد. برای بررسی این تأثیر در حالتی که زاویه لایه بندی با بالادرست و دسته درزه دوم با پایین دست 45° درجه بوده و دسته درزه سوم عمود بر محور سد باشد و با تغییر پارامترهای فوق تحلیل هایی صورت گرفته که در نمودارهای زیر خلاصه شده است. همانگونه که ملاحظه می شود با افزایش مقادیر پارامترهای بالا مکرر تغییر مکان ایجاد شده در تکیه گاه کمتر می شود یعنی توده سنگ مقاوم تر می شود. در این بین اثر ϕ بر رفتار توده سنگ تکیه گاه برجسته تر است، از این رو در انتخاب ϕ باید دقت کافی بعمل آید.

- این حالت جزء بهترین حالات است. همچنین اگر لایه بندی به طرف پایین دست با شیب 30° درجه باشد و دسته درزه دوم به طرف بالا دست و شیب 60° درجه باشد از بهترین حالات می باشد.
- ۹- بطور خلاصله می توان گفت دو عامل باعث ایجاد شکل پذیری حداکثر در توده سنگ تکیه گاه می شود. یکی لایه بندی در امتداد محور سد و نزدیک به قائم و دیگری وجود یک سری درزه در امتداد محور سد و با شیب حدود 60° درجه به طرف پایین دست است. حال اگر این دو با هم اتفاق افتد پیش بینی می شود تغییر مکان ایجاد شده در تکیه گاه باز هم افزایش یابد.
- ۱۰- افزایش JCS، ϕ درزه باعث افزایش مقاومت توده سنگ می شود اما در این ϕ محدود و قابل توجه تر از بقیه است. لزوم اعمال ϕ بزرگ در تحلیل های انجام گرفته بدليل اعمال میدان تنش اولیه پایین ناشی از نیروی ثقل است و در صورتی که تنش ها بیشتر از این مقادیر باشد امکان اعمال ϕ کوچکتر نیز وجود دارد.
- ۱۱- با توجه به اینکه تسلیم شدن درزه و توده سنگ مستقیماً به تنش های اولیه اعمال شده بستگی دارد و با توجه به امکان وجود تنش های دیگری علاوه بر تنش های ناشی از وزن (مانند تنش های تکتونیکی) تخمین دقیق تر تنش های اولیه، رفتار توده سنگ را به واقعیت نزدیک می کند.
- ۱۲- انجام یک تحلیل جداگانه به کمک روش معادل یا هر روش دیگر بر اساس نفوذ پذیری سری درزه ها و اعمال جهت و امتداد آنها برای محاسبه دقیق تر نیروی برکنش توصیه می شود. هر چند امروزه رفتار هیدرومکانیکی توده سنگ ها تحت مطالعه است.
- ۱۳- با توجه به اندرکنش موجود بین تکیه گاه و سد و اثری که تغییر مکان های تکیه گاه بر توزیع تنش و پایداری سد دارند اگر مدل سد نیز در مدل حاضر گنجانده شود، نیروی آب به خود سد اعمال می شود و نیز وزن سد که در اینجا صرفنظر شده به حساب آورده می شود.

- و بیشترین تغییر مکان را در اثر نیروهای وارده داریم. این تین حالت وقتی است که لایه بندی قائم باشد. یعنی بار نیروی وزن و هیدرواستاتیک آب به موازات لایه بندی وارد شوند. با اینحال تحلیل مدل کامل دره در این حالت ضروری بنظر می رسد.
- ۳- وقتی امتداد لایه بندی موازی محور سد و شیب کمتر از 30° درجه باشد، تفاوت چندانی بین شیب پایین دست و بالا دست وجود ندارد. یعنی مقاومت در هر دو حالت مشابه است.
- ۴- در حالتی که لایه بندی موازی محور سد و شیب آن به طرف پایین دست باشد بحرانی ترین حالت زمانی است که شیب لایه بندی حدود 60° درجه باشد.
- ۵- در حالت لایه بندی به طرف بالا دست با افزایش شیب، تغییر مکان ایجاد شده در تکیه گاه بیشتر می شود ولی از حالتی که لایه بندی به طرف پایین دست باشد کمتر است. از این رو لایه بندی به طرف بالا دست بهتر از لایه بندی به طرف پایین دست می باشد.
- ۶- در حالتی که تکیه گاه شامل دو سری ناپیوستگی متعامد باشد که یکی موازی محور سد و با شیب به طرف پایین دست و دیگری نیز موازی محور سد و با شیب به طرف بالا دست باشد، بحرانی ترین حالت زمانی است که لایه بندی به طرف پایین دست بوده و شیب آن 60° درجه باشد و این ترین حالت زمانی است که لایه بندی به طرف بالا دست و با شیب 60° درجه باشد.
- ۷- در حالتی که تکیه گاه شامل سه سری ناپیوستگی باشد که یکی موازی محور سد و با شیب به طرف پایین دست دیگری نیز موازی محور سد و با شیب به طرف بالا دست و سومی عمود بر محور سد باشد، اگر شیب لایه بندی کمتر از 30° درجه باشد و نیز شیب درزه دوم کمتر از 45° درجه باشد، تفاوت چندانی بین اینکه لایه بندی به طرف بالا دست یا پایین دست باشد وجود ندارد.
- ۸- بدترین حالت وقتی است که لایه بندی به طرف بالا دست و شیب 60° درجه باشد و شیب درزه دوم به طرف پایین دست و 60° درجه باشد. اما اگر شیب درزه دوم 30° باشد

مراجع

- سنگ درزه دار تکیه های سد بتُنی قوسی، دانشگاه تربیت مدرس. ۱۳۷۸.
- [4] Alonso, E., "Evaluation of Safety Factor in Discontinuous rock", International Journal of Rock Mechanic and Minning Science, 1996, 33, 5, 513-537.
- [5] Alonso, E. "Foundation Analysis of an Arch Dam.

- [۱] جلالی، علیرضا، تأثیر لایه بندی و ناهمسانی توده سنگ در اندرکنش با سازه سدهای بتُنی دو قوسی، دانشگاه صنعتی شریف، ۱۳۷۵.
- [۲] مرعشی، سید علی، تحلیل رشد ترک در سدهای بتُنی به روش افزایش بار استاتیکی، دانشگاه تربیت مدرس. ۱۳۷۴
- [۳] مقصودی شورابی، حسینعلی، تحلیل عددی رفتار توده

- Comparison of Two Modelling techniques: No tension and Jointed Rock Material”, Rock Mechanic and Rock Engineering 1985, 18, 3, 149-182.
- [6] Barton, N. & Choubey, V., “The Shear Strength of Rock Joints in Theory and Practice” Rock Mechanics,” 1977, 10, 1/2, 1-54.
- [7] Bathe, K. J., “Finite Element Methods for Nonlinear Problems”, Berlin, 1986.
- [8] Hudson, J. A., “Comperhensive Rock Engineering”, London, 1993.
- [9] Mostyn, G. Helgstedt, M. D. & Douglas, K. J., “Toward Field Bounds Rock Mass Failure Criteria”, International Journal of Rock Mechanic and Minning Science, 1997, 3-4, 208.
- [10] Naylor, D. J. & Pande, G. N., “Finite Element Method in Geotechnical Engineering”, Swansea, 1985.
- [11] Pande, G. N., Beer, G. & Williams, J. R, “Numerical Methods in Rock Mechanic”, London, 1990.
- [12] Wittke, Walter “Rock Mechanics,” Berlin, 1990.